# あかり全天サーベイマップを用いた 超新星残骸の高温プラズマ中のダストの観測

〇石原大助、金田英宏、古澤彰浩、國枝秀世(名古屋大学) 鈴木仁研(ISAS/JAXA)、Bon-Chul Koo (ソウル大) Jae-Joon Lee (ペンシルベニア州大)、Ho-Gyu Lee (トロント大) 尾中敬(東京大学)

Tycho超新星残骸の赤外線放射の起源

Introduction

AKARI による観測データの紹介

• 赤外線放射の起源と物理状態の考察 (全体、NE、NW)

Summary

「あかり」全天サーベイデータ

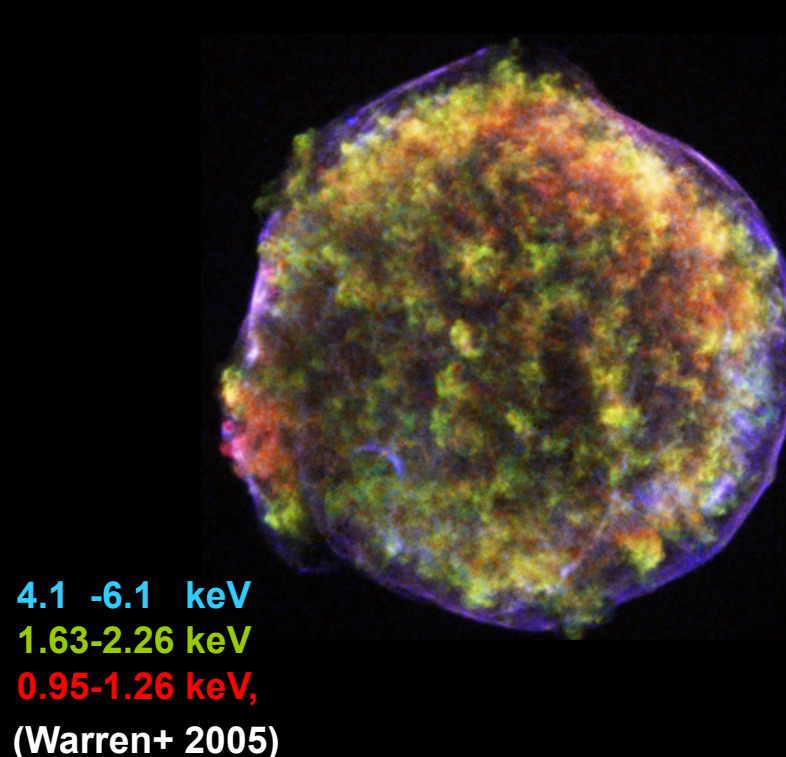
塵に蔽われたAGNの検出

青: X線(Suzaku)

緑: 12CO (CGPS)

赤: 赤外線(AKARI)

### 1. Tycho's SNR

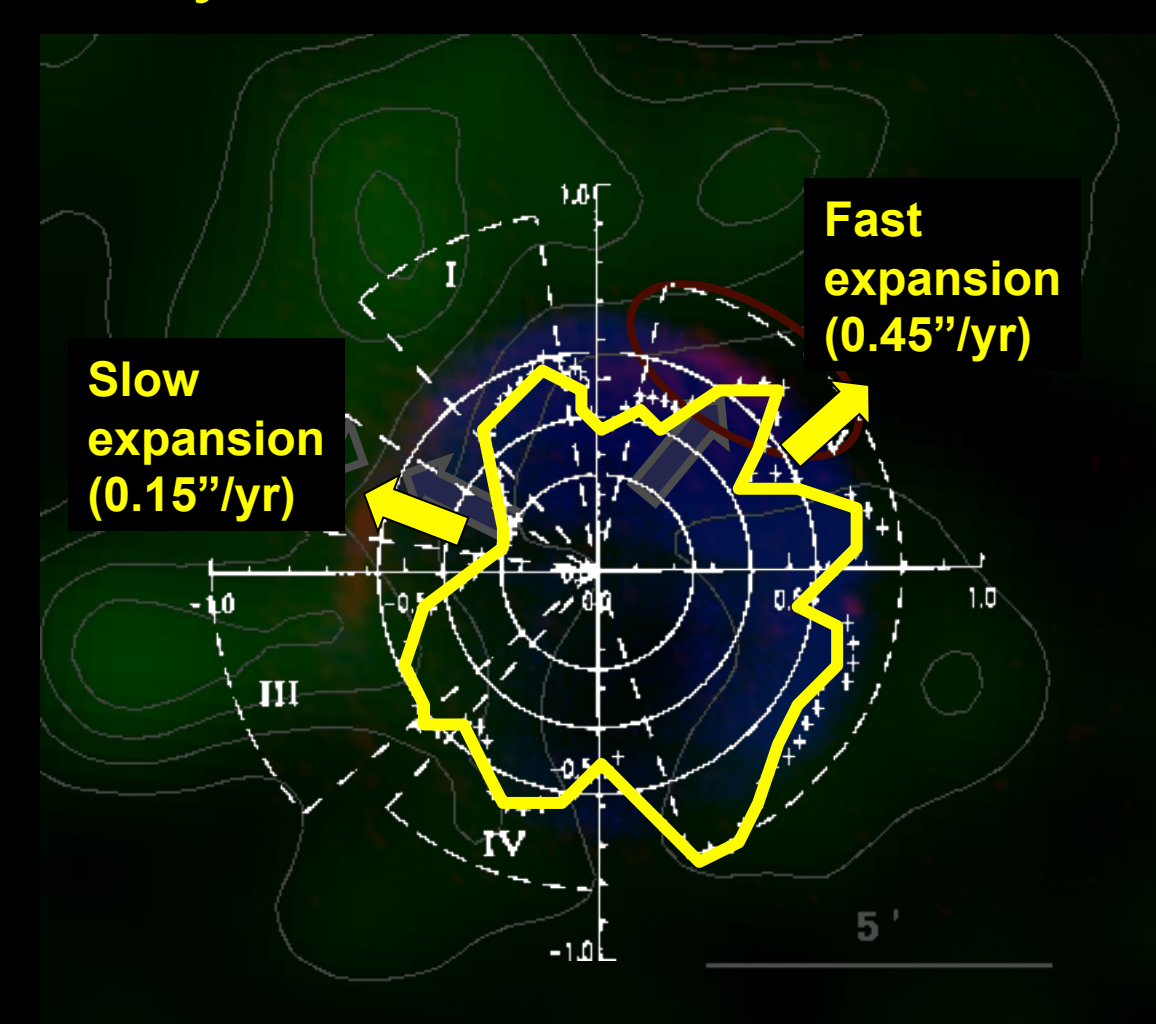


- 1572年 Tycho Brahe による観測
- 距離 1.5~3.1 kpc (Chevalier+ 1980 etc.)
- サイズ 8'(5.3pc)
- Type Ia
- Extensively studied in X-ray,
   Radio and Optical
- Ejecta物質の膨張

(Furuzawa+ 2009)

- 赤外線を出している
  - + IRASで検出 (Schwaltz 1995)
  - + ISO/ISOCAM (Douvion+ 2001)

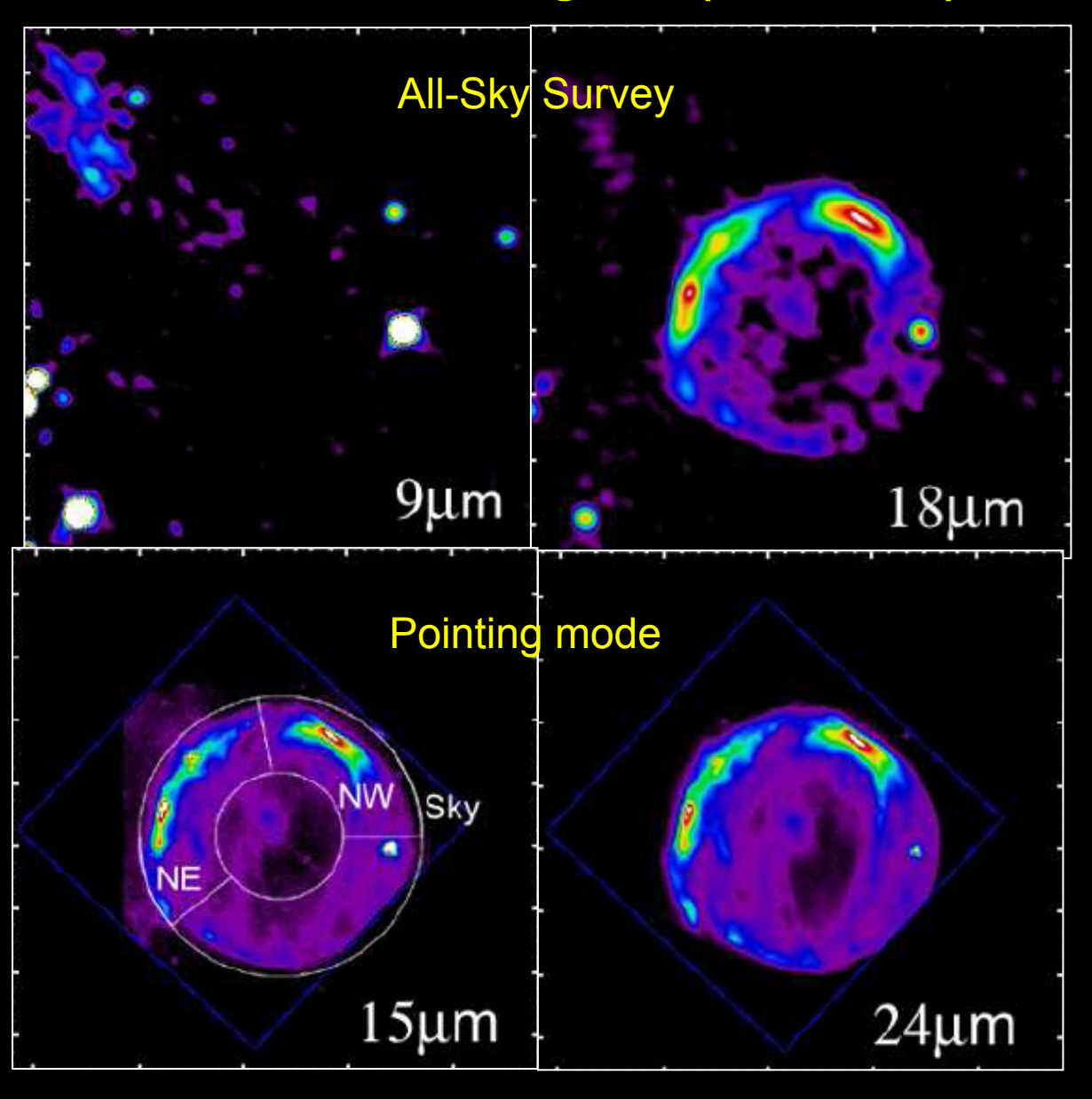
# 1. Tyho's SNR



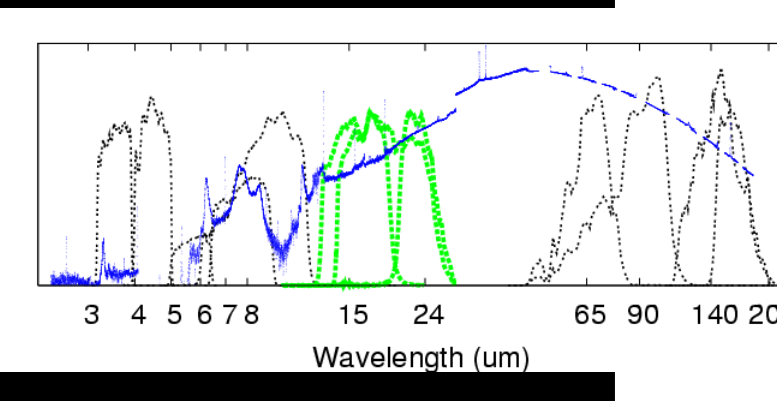
X-ray (Suzaku 0.1-12 keV)
Molecular cloud (12CO)
Hot dust (AKARI 18um)
Expansion velocity
from VLA 1375 Hz
(Reynoso+ 1997)

「あかり」の赤外線画像(9, 15, 18, 24, 65, 90, 140, 160um) から、ダストの物理状態と起源を探る。

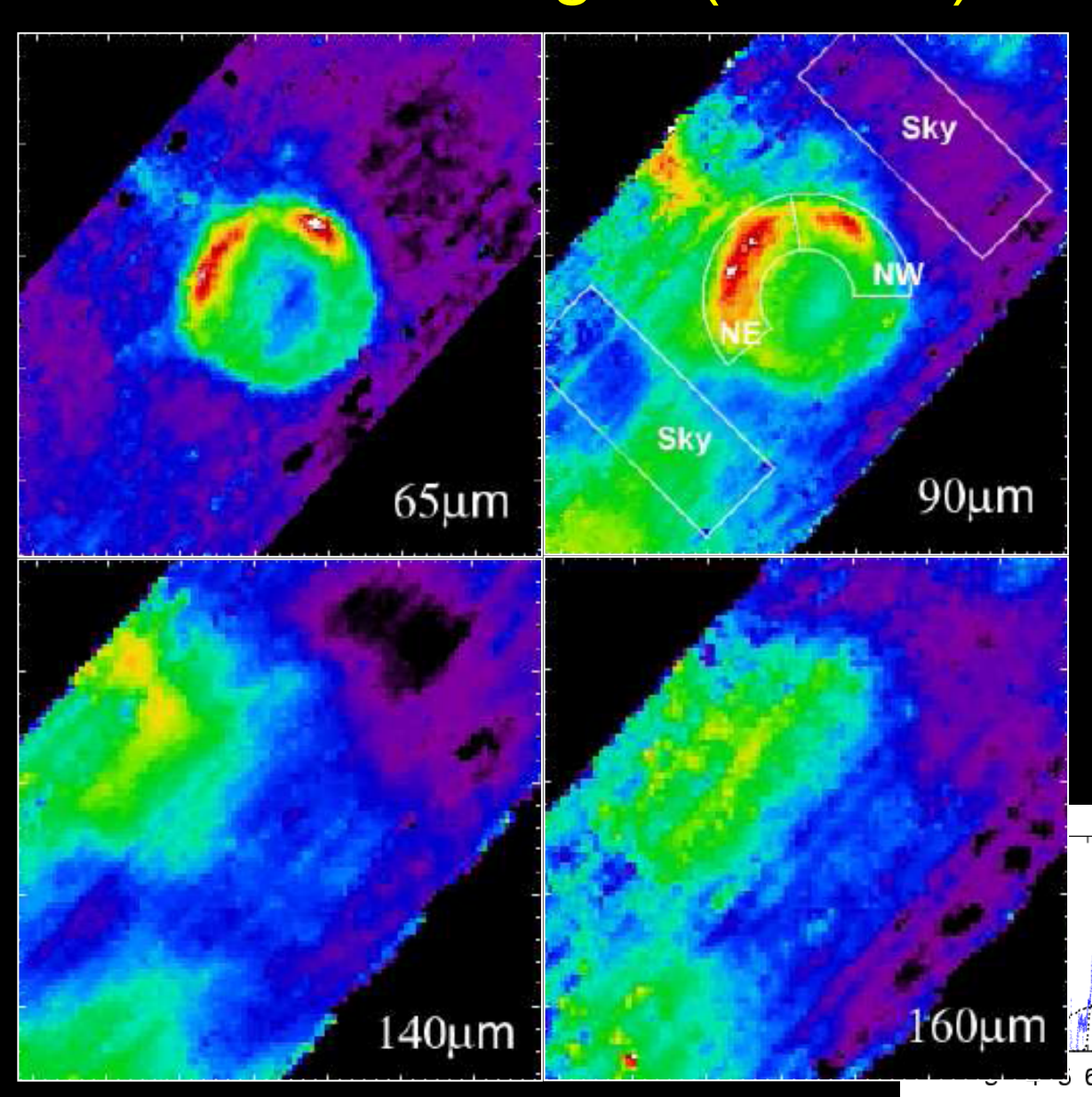
# 3. Infrared images (AKARI)



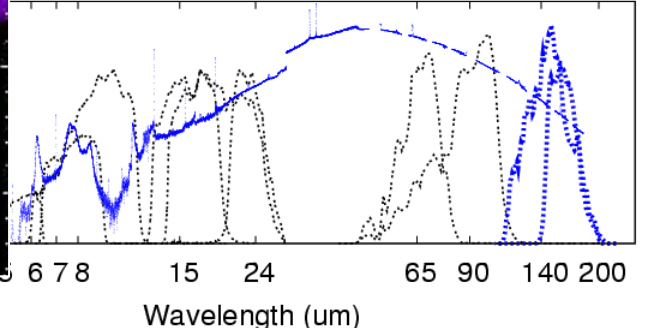
- あかり IRC 9um
- + SNRと異なる形状
  - ··· ISMのPAH蛍光輝線
- あかり IRC 15,18,24um
  - +シェル状の放射
  - + NEとNWに明るい箇所
    - …SNRからのダスト放射



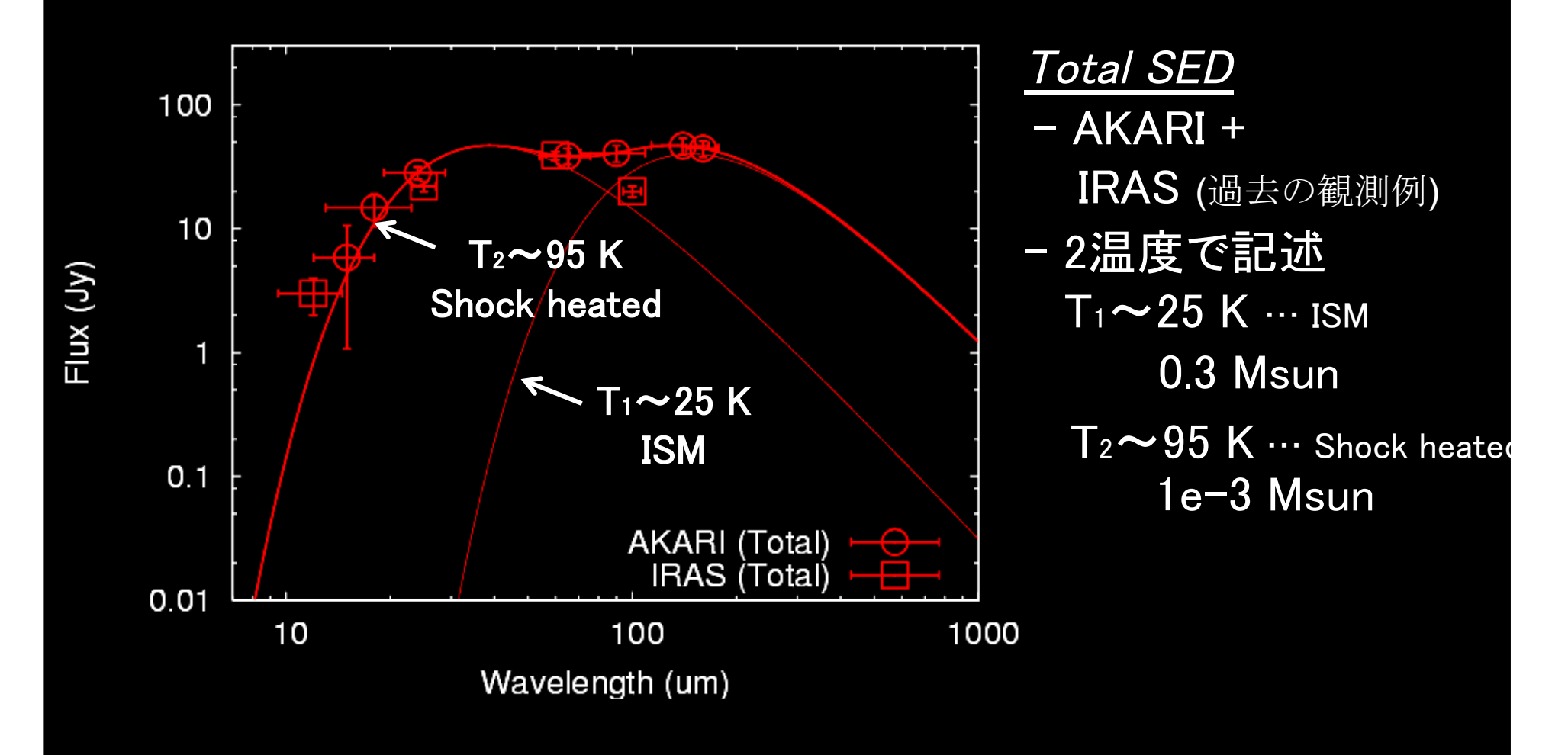
# 3. Infrared images (AKARI)



- あかり IRC 9um
  - + SNRと異なる形状
    - ··· ISMのPAH蛍光輝線
- あかり IRC 15,18,24um
  - + シェル状の放射
  - + NEとNWに明るい箇所
    - …SNRからのダスト放射
- あかり FIS 65, 90um
  - +シェル状の放射
  - + NEとNWに明るい箇所
    - …SNRからのダスト放射
  - + 左上に構造
    - …ISMのダスト
- あかり FIS 140, 160um
  - + Inter stellar cold dust

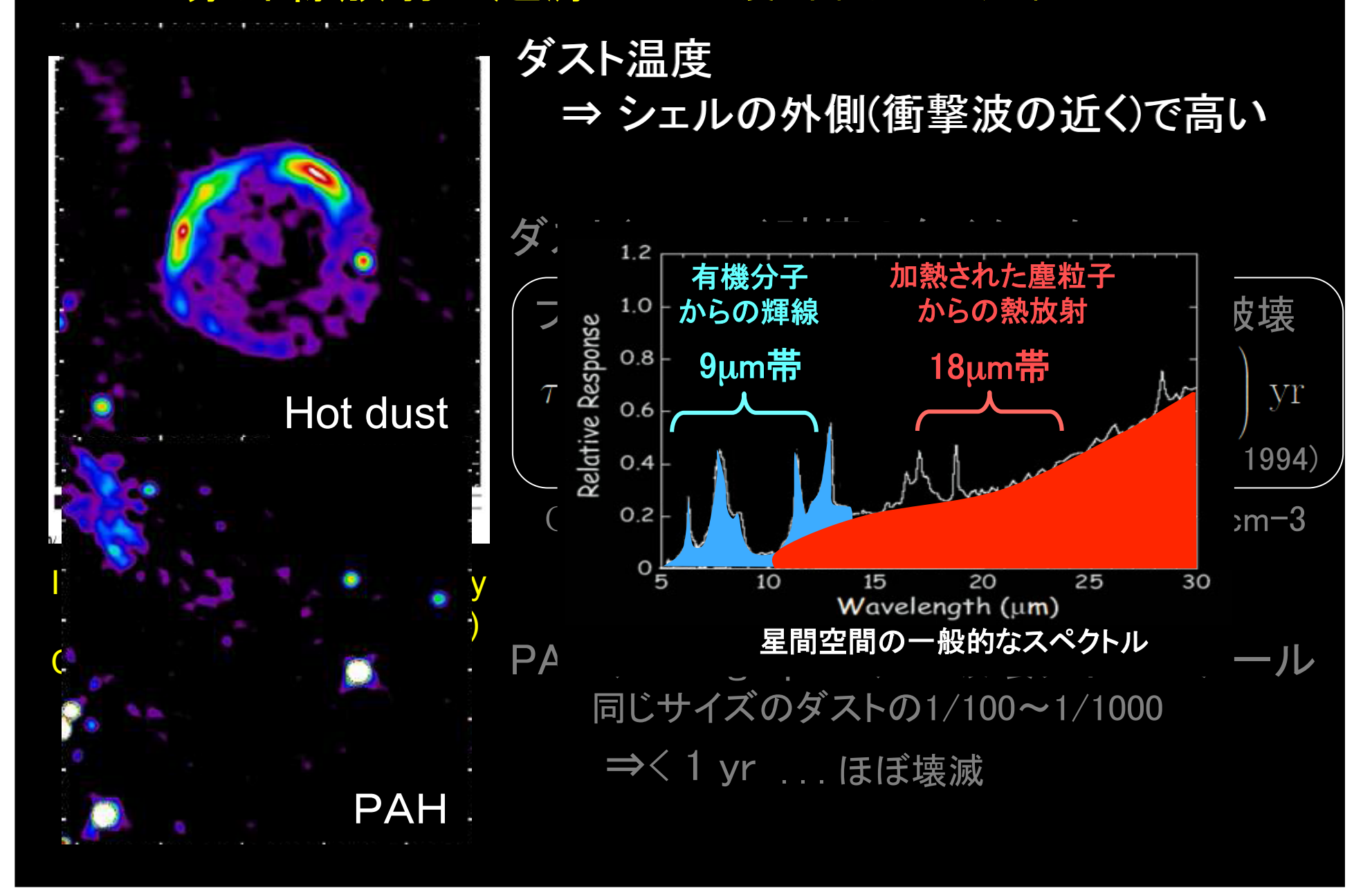


## 4.1 赤外線放射の起源 ダスト温度・半径方向の分布から



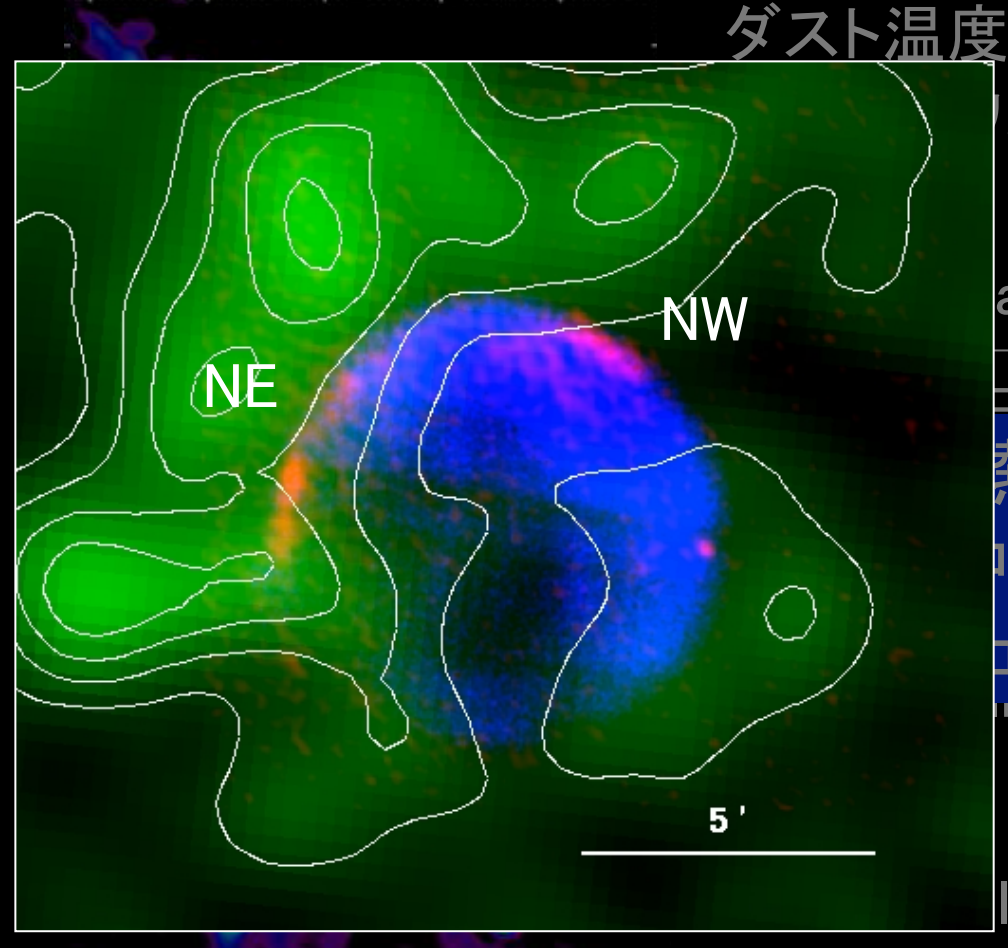
⇒ 衝撃波で加熱されたISM

### 4.1 赤外線放射の起源 ダスト温度・半径方向の分布から



### 4.1 赤外線放射の起源 ダスト温度・半径方向の分布から





レの外側(衝撃波の近く)で高い

ate)破壊のタイムスケール

コでのsnatteringによるダストの破壊

熱され、

で衝突破壊されている

ヒル構造

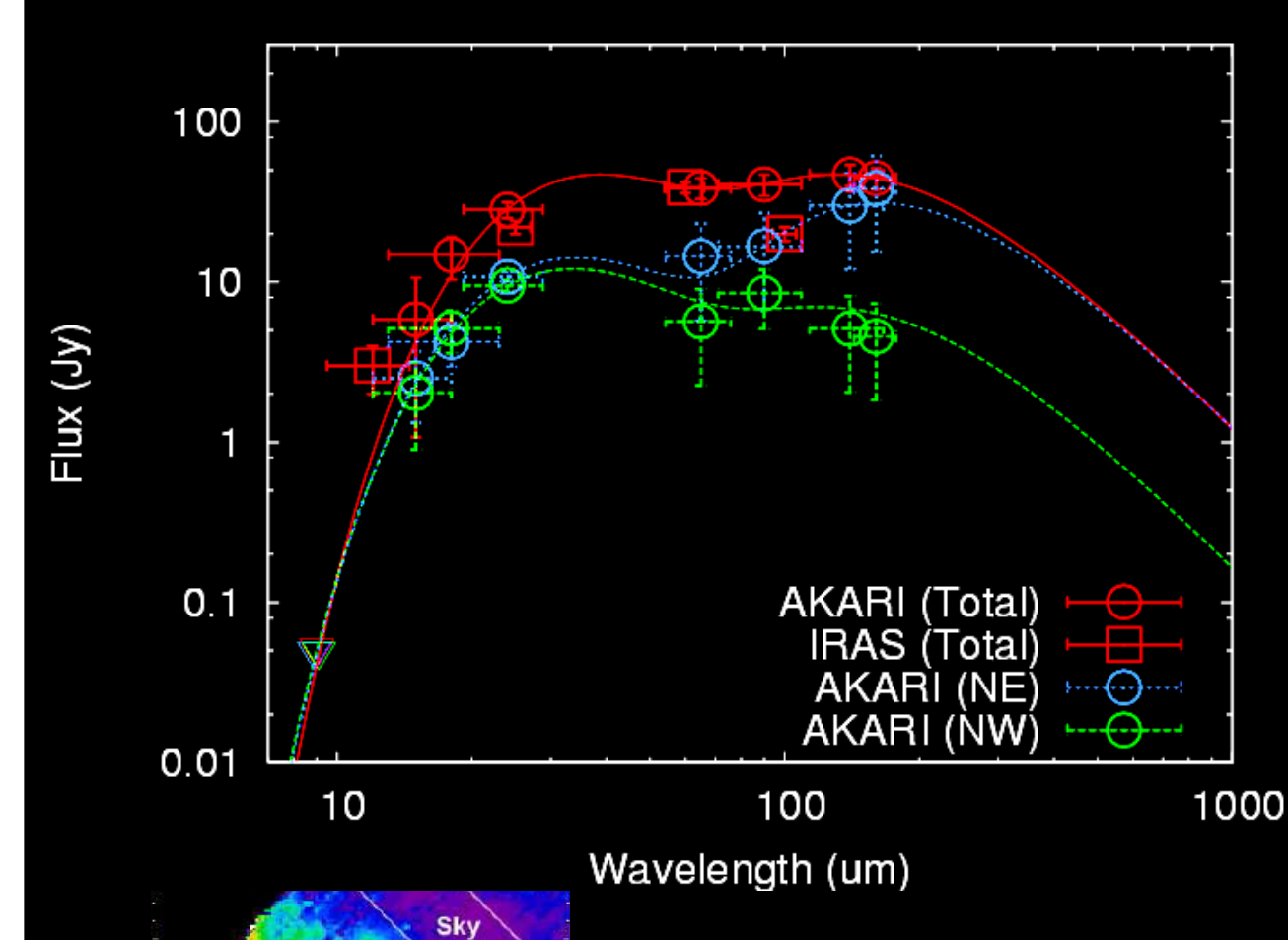
cate/, a-11111, 1-0.460 IX, 1111-10 cm-3

II. 1994)

yr ⇔ 500 yr (SNRの年齢)

graphite) の破壊タイムスケール

とくに明るいところ(NEとNW)の 赤外線放射の起源(物理)は?



NW

90µm

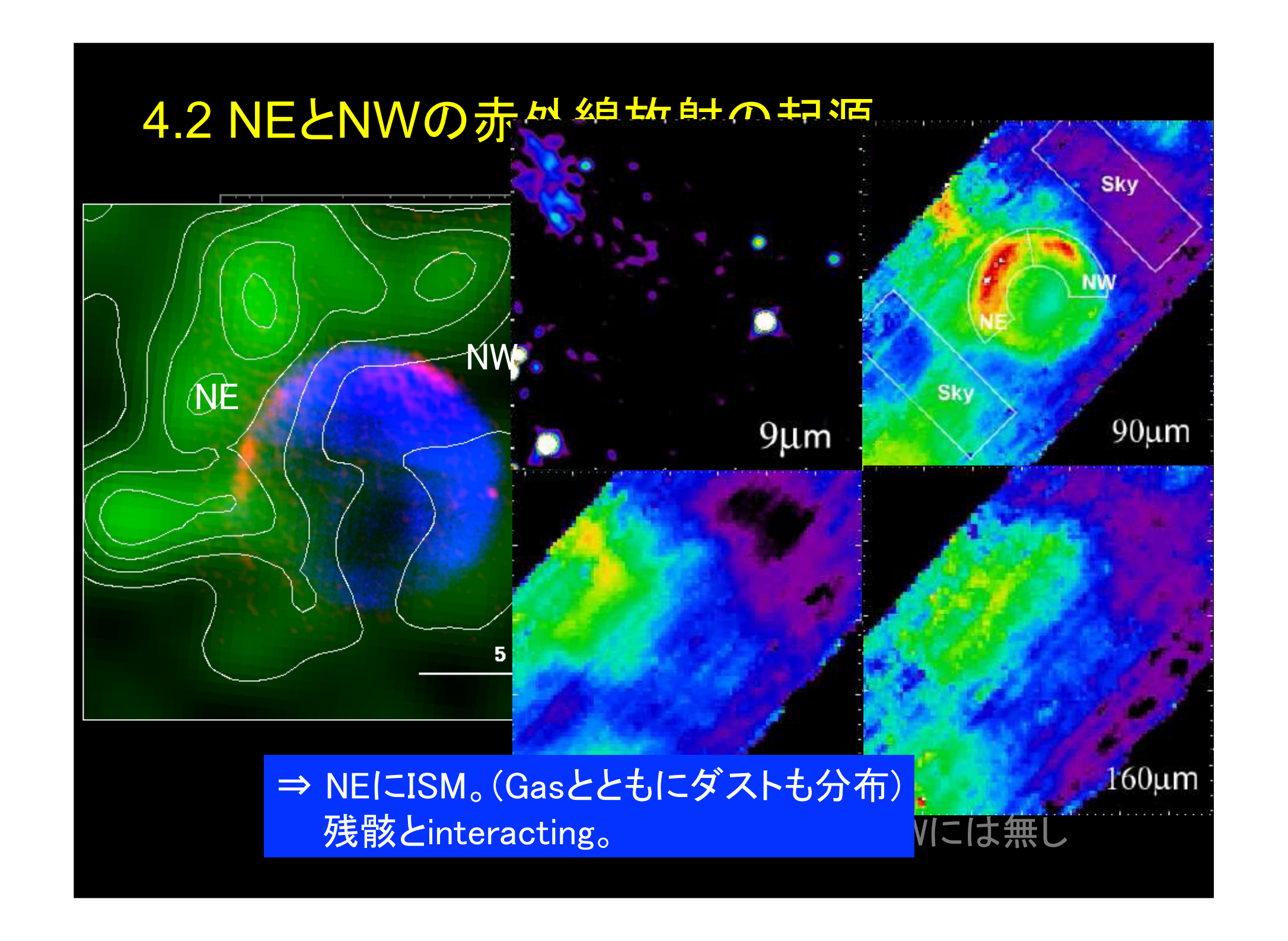
#### Total SED

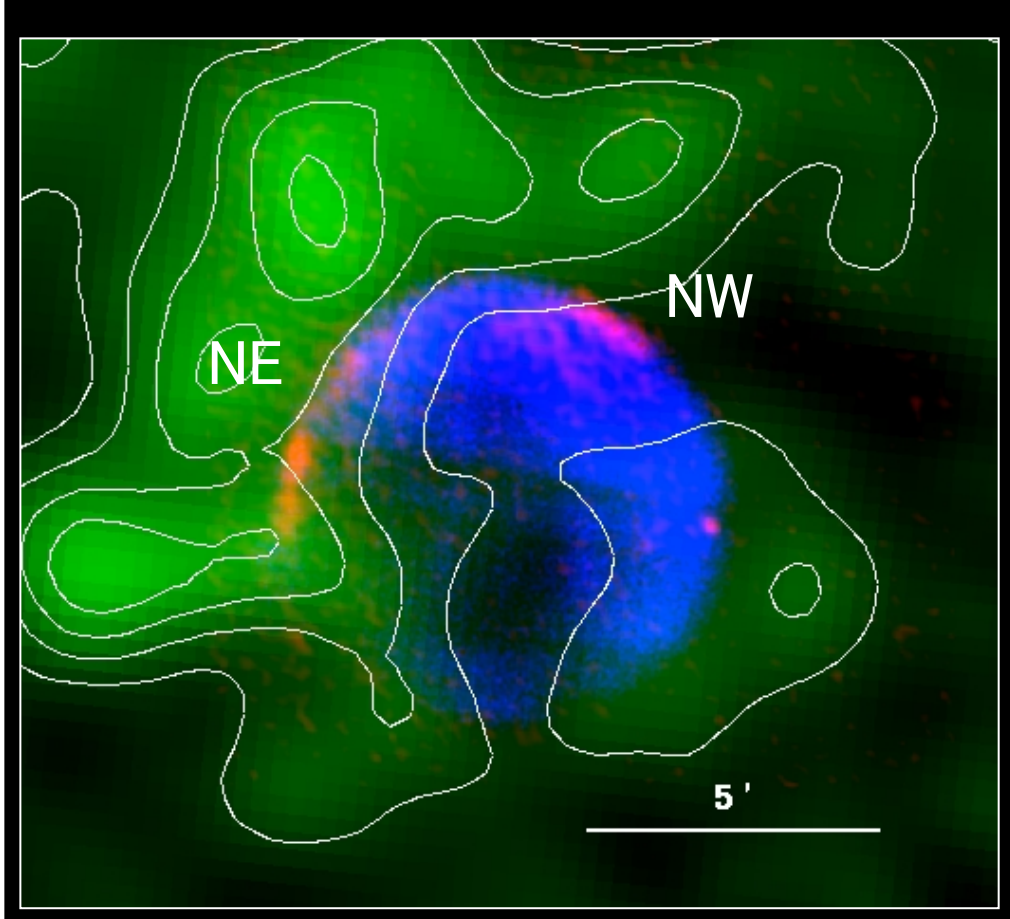
- AKARI + IRAS (過去の観測例)
- 2温度で記述 T₁~25 K ··· ISM 0.3 Msun

T<sub>2</sub>~95 K ··· Shock heated 1e-3 Msun

# NE, NWO local SED

- 同様に2温度で記述
- NEに大量のcold dust
  - ⇒ ISM起源
- NWには無し





	NE	NW
Gas (H <sub>2</sub> ) -60~-63 km/s	20 Msun	2 Msun
Hot dust (∼100 K)	2e-4 Msur	n <b>2e-4</b> Msun
Ratio Gas/Dust	1e4	1e5
Cold dust (~20 K)	0.3 Msun	0.03 Msun
Ratio Gas/Dust	70	70

⇒ NWはガスが殆ど無いのに、 hot dust が多い。

NE、NWともに典型的なISMの値 100~200 (Sodroski+ 1994)

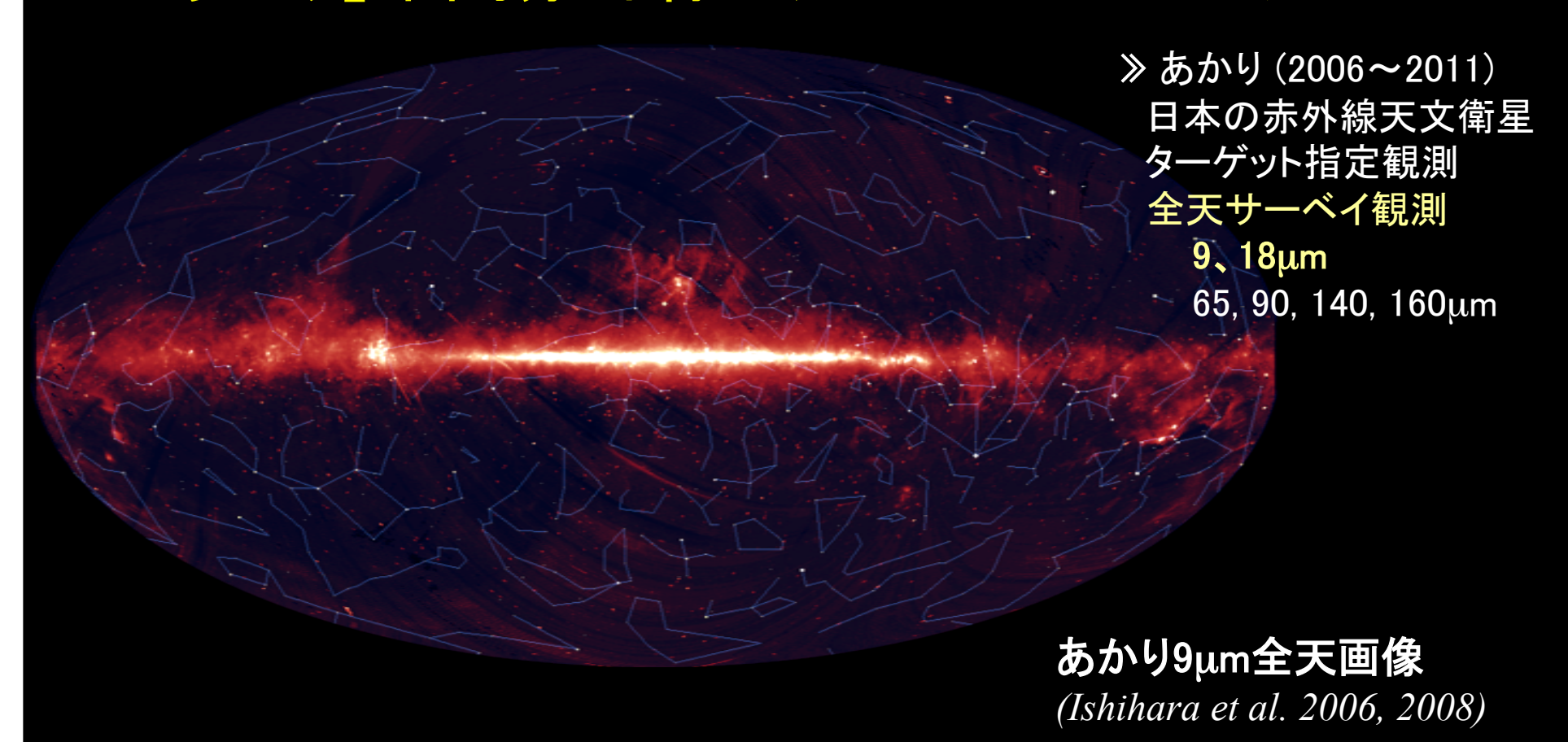


(Warren+ 2008)

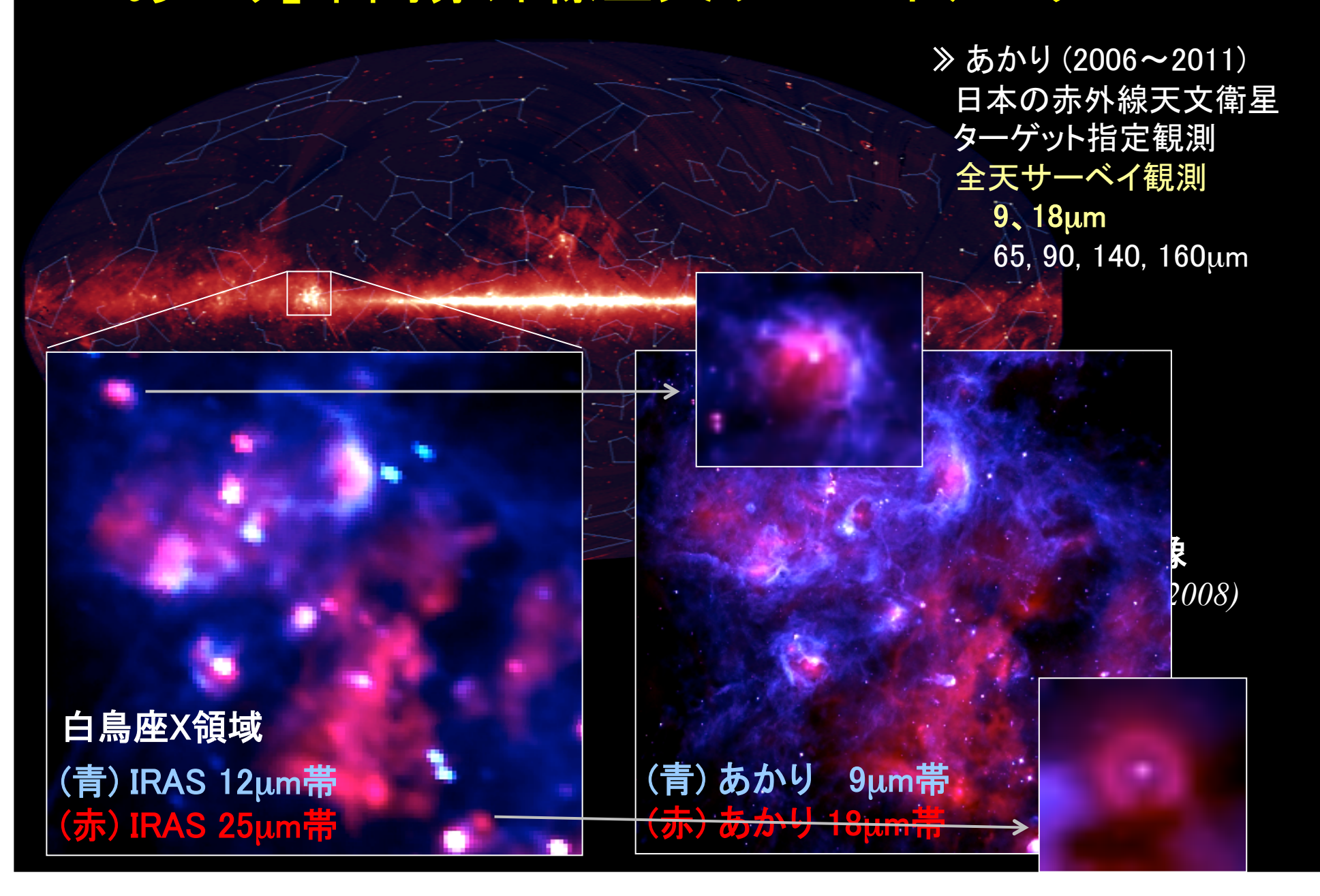
### 5. まとめ

- Tycho's SNRを、赤外線(「あかり」9um~160um)で観測。
   ⇒ ダストの物理状態(温度分布・加熱源)と その起源(ISM or ejecta) を考察。
- ISMダストが、シェル状に広がる衝撃波に過熱され プラズマ中で破壊されてゆく様子が見えている。
- NEに大量のISMが存在し、残骸と interaction をしている。 (さらに、SNRから直線状に伸びる加熱源が示唆される)
- NWにISMは存在しないが、Hot dustが見られる。
  - ガス-高温ダスト比が少ない(ガスが少ない)
  - 不連続面の内側で光っている ⇒ Ejecta からのダスト生成?
- Type laでもダスト生成の兆候の発見は初めて。
   ⇒ 現在・初期宇宙での物質生成史の研究にインパクト
- 「あかり」赤外線データによる超新星残骸の解析の重要性

# 「あかり」中間赤外線全天サーベイデータ



# 「あかり」中間赤外線全天サーベイデータ



# 「あかり」中間赤外線全天サーベイデータ

≫ あかり(2006~2011) 日本の赤外線天文衛星 ターゲット指定観測 全天サーベイ観測 9、18µm 65,90,140,160µm

Table Performance of AKARI/MIR PSC

Band center 9µm 18µm

Detection limit (5σ) 50mJy 90mJy

Position accuracy <3

Num. of sources 844,649 194,551

870,973

(Ishihara et al. 2010)

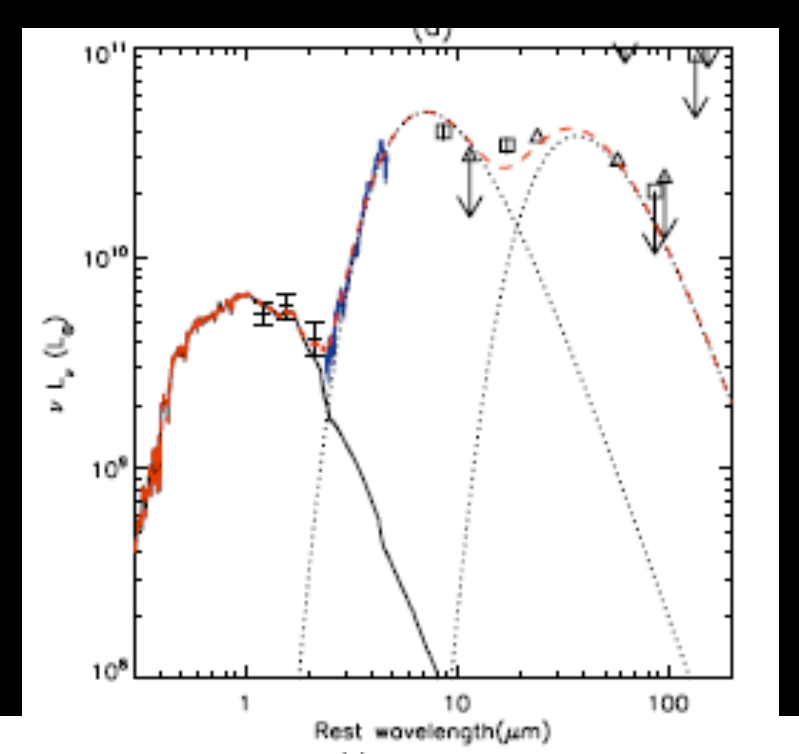
(青)あかり 9μm天体 (赤あかり9μm全天画像

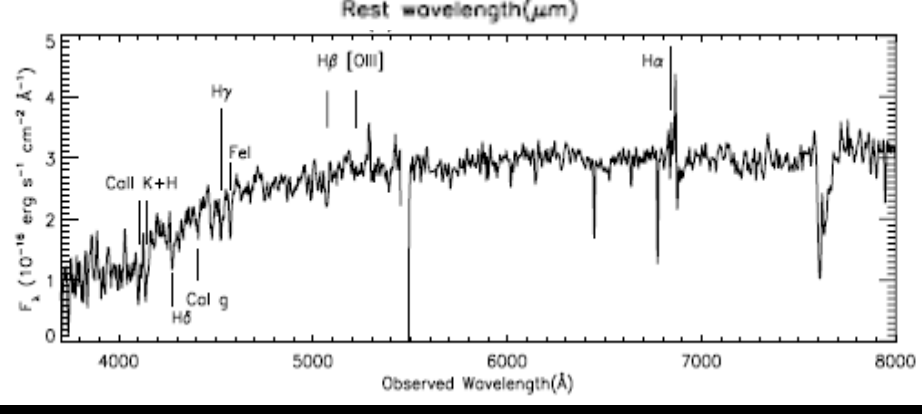
(Ishihara et al. 2006, 2008)

# AKARI detections of hot dust in luminous infrared galaxies (Oyabu, Ishihara et al. 2011)

「あかり」中間赤外線 全天サーベイソースを追観測

- ・「あかり」近赤外線分光 高温(~500K)ダスト成分の検出
- 可視スペクトル AGNの兆候がない
- 塵に埋もれたAGNと考えている。





### 5. まとめ

- Tycho's SNRを、赤外線(「あかり」9um~160um)で観測。
   ⇒ ダストの物理状態(温度分布・加熱源)と その起源(ISM or ejecta) を考察。
- ISMダストが、シェル状に広がる衝撃波に過熱され プラズマ中で破壊されてゆく様子が見えている。
- NEに大量のISMが存在し、残骸と interaction をしている。 (さらに、SNRから直線状に伸びる加熱源が示唆される)
- NWにISMは存在しないが、Hot dustが見られる。
  - ガス-高温ダスト比が少ない(ガスが少ない)
  - 不連続面の内側で光っている ⇒ Ejecta からのダスト生成?
- Type laでもダスト生成の兆候の発見は初めて。
   ⇒ 現在・初期宇宙での物質生成史の研究にインパクト
- 「あかり」赤外線データによる超新星残骸の解析の重要性